

En la Tabla I se muestra esta prueba con K_d, K_{dp} y F.A. correspondientes a cada lectura.

amplificación de potencia que tiene la Amplidina con esta carga.

de con una carga de 500 ohms, obteniéndose también el factor de

se obtener unas constantes más representativas se efectuó una prueba

una reacción de armadura la cual modifica estas constantes, produciendo

picos, ya que cuando la Amplidina trabaja con carga, produce

K_d y K_{dp} , pero estos datos no se pueden tomar para cálculos prácticos

De las figuras 3 y 4 se pueden obtener las constantes

segundo paso de amplificación ($i_d - e_o$).

En la figura No. 4 se encuentran la curva de vacío del

las de vacío del primer paso de amplificación ($i_r - e_d$).

En la figura No. 3 se muestra también la característica

relación en vacío de la Amplidina o sea i_r contra e_o .

En la curva de la figura No. 2 se muestra la característica

correspondientes a cada lectura.

de con una carga de 500 ohms, obteniéndose también el factor de

se obtener unas constantes más representativas se efectuó una prueba

una reacción de armadura la cual modifica estas constantes, produciendo

picos, ya que cuando la Amplidina trabaja con carga, produce

K_d y K_{dp} , pero estos datos no se pueden tomar para cálculos prácticos

De las figuras 3 y 4 se pueden obtener las constantes

segundo paso de amplificación ($i_d - e_o$).

En la figura No. 4 se encuentran la curva de vacío del

las de vacío del primer paso de amplificación ($i_r - e_d$).

En la figura No. 3 se muestra también la característica

relación en vacío de la Amplidina o sea i_r contra e_o .

En la curva de la figura No. 2 se muestra la característica

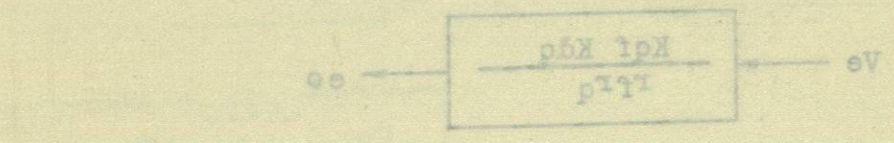


Diagrama Block Estado Estable.

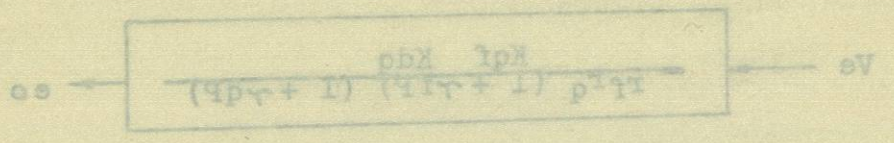


Diagrama Block de la Amplidina.

$$e_o = \frac{K_d K_{dp}}{r_{rp} p (1 + r_{rp} p) (1 + r_{dp} p)} V_e \quad (2)$$

Substituyendo (2) en (4)

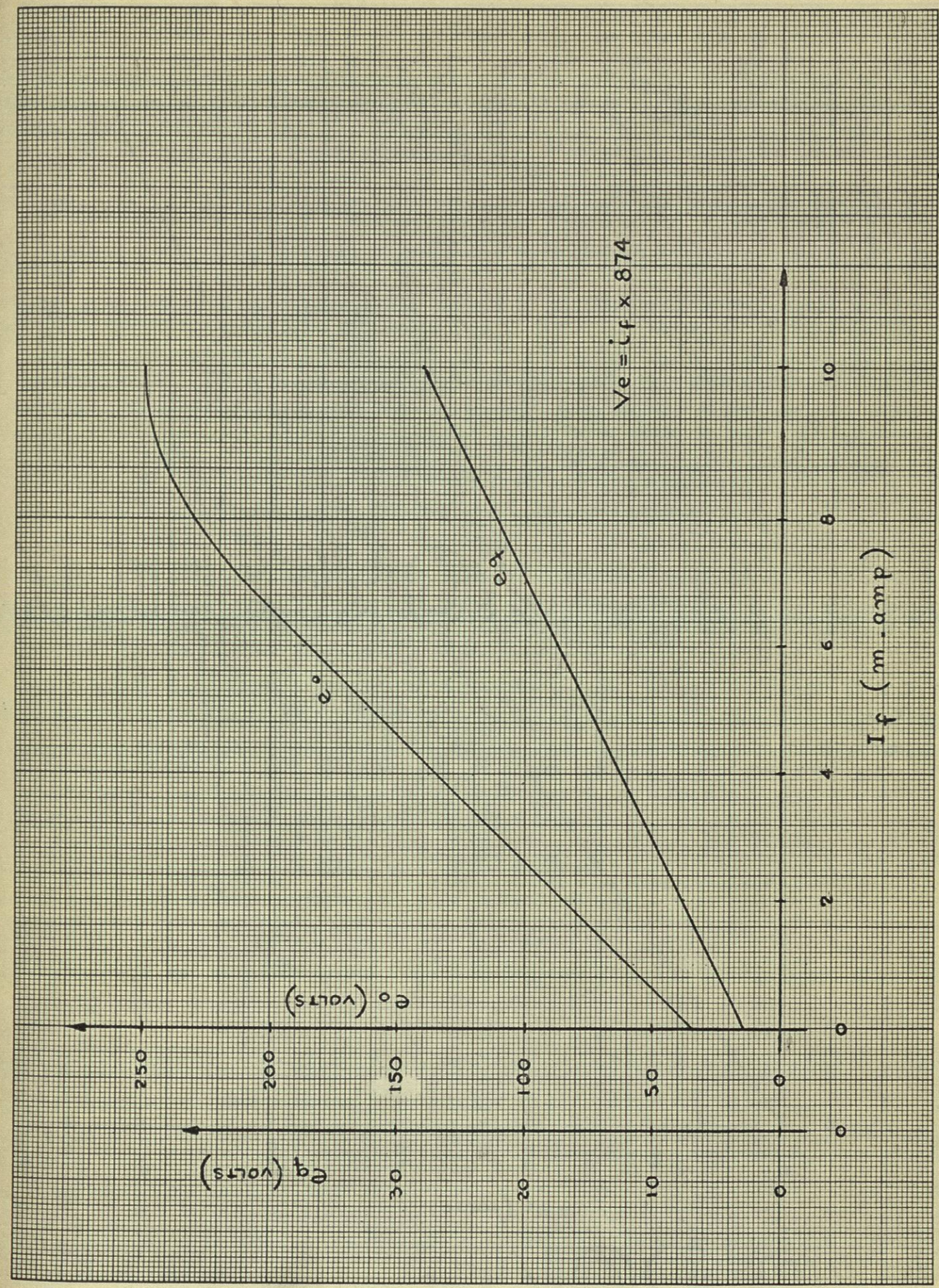


FIG N° 2 Y N° 3

L10 MS A M9

I_f (μmub)

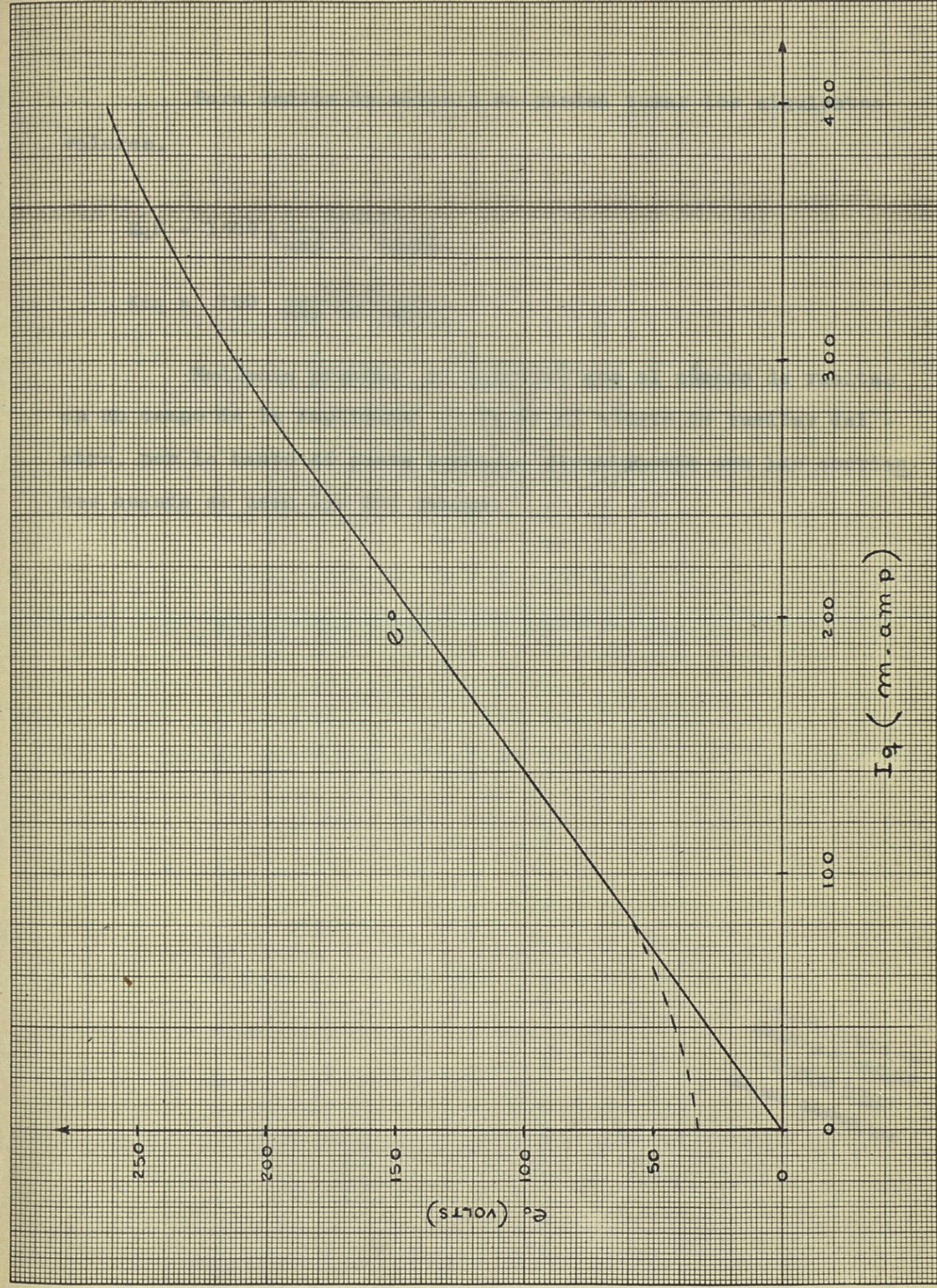
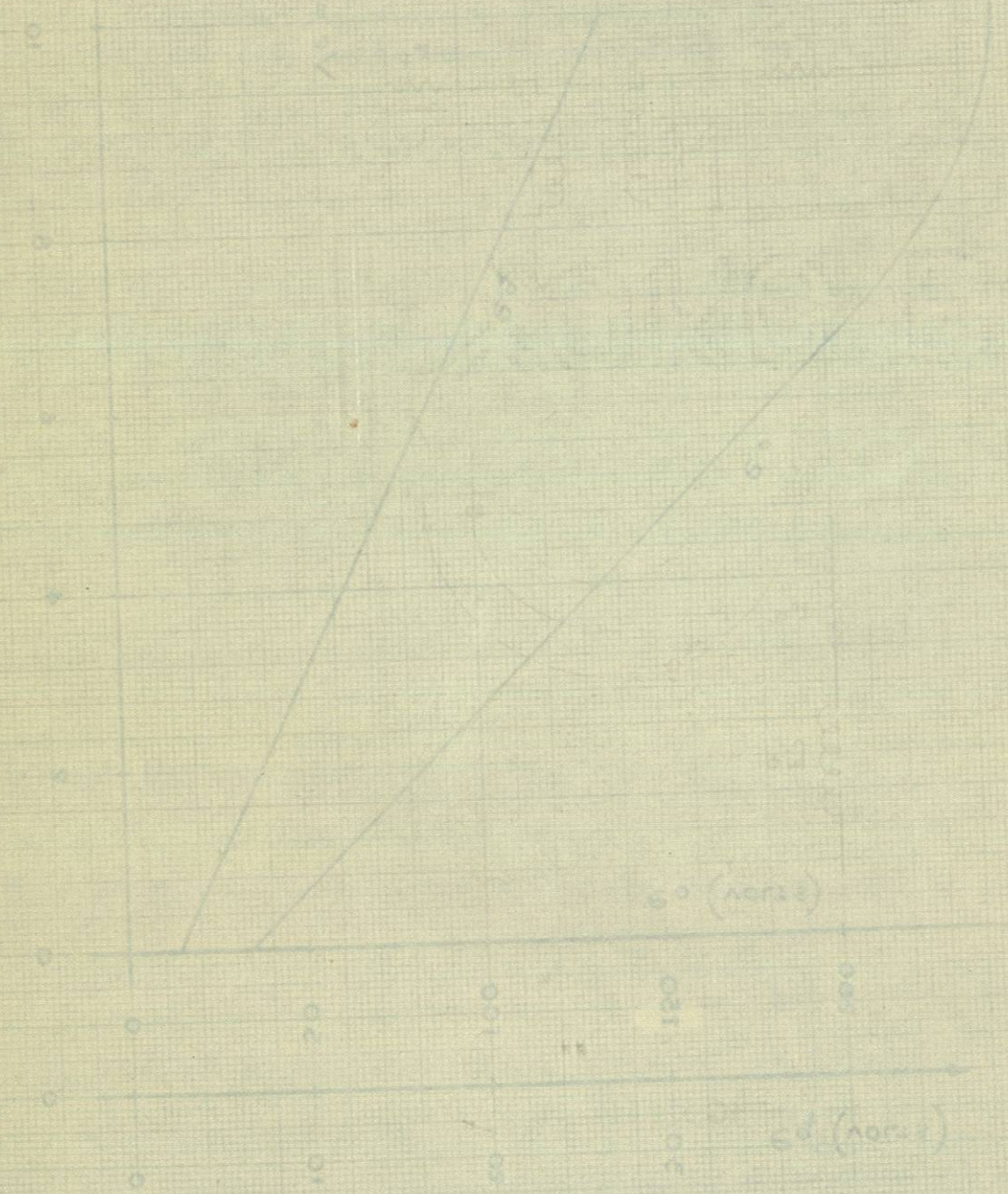


FIG. N° 4

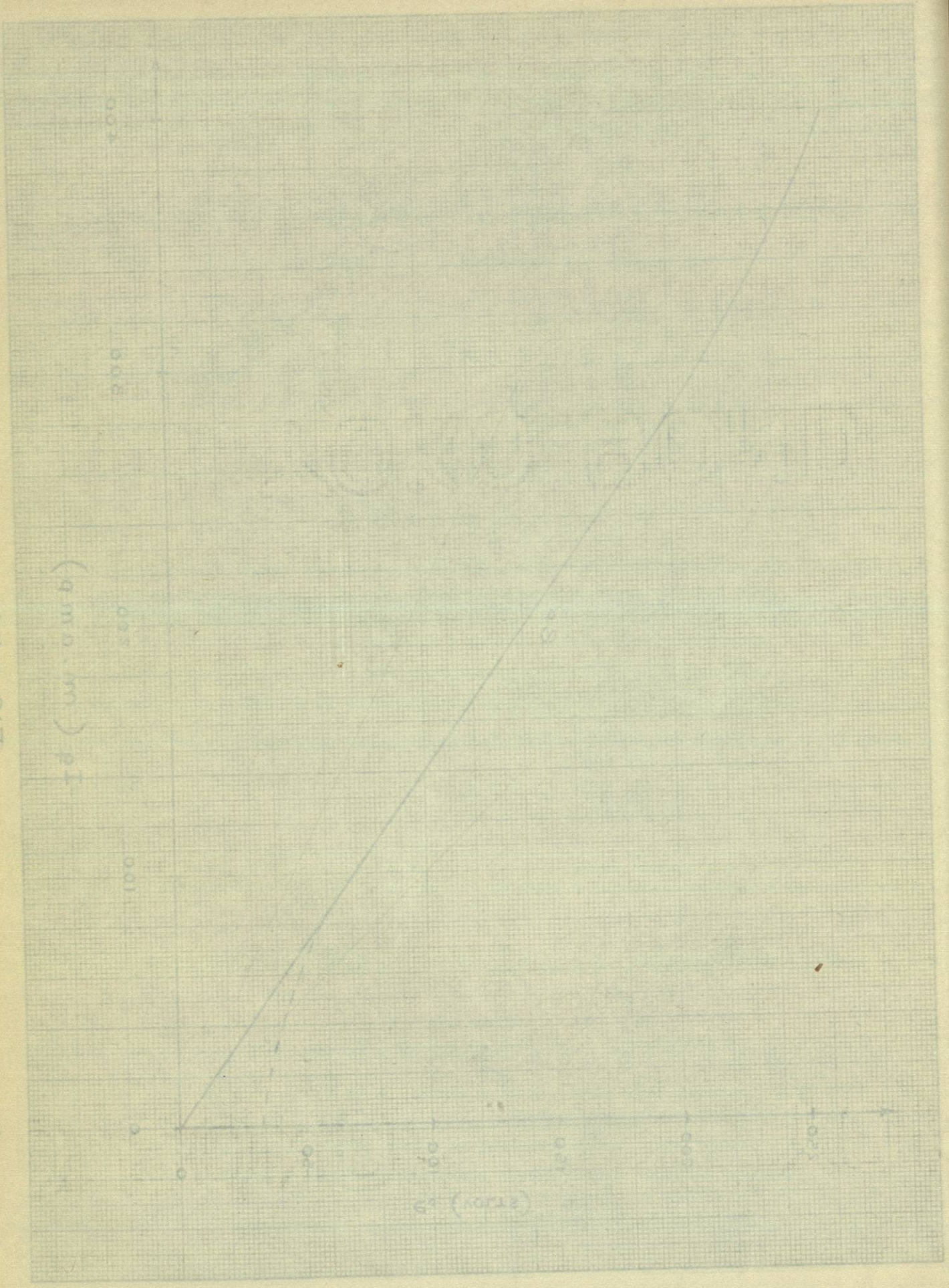
Para medios de cálculo se pueden tomar los siguientes valores.

$$K_{qf} = 1500 \frac{\text{Volts}}{\text{amp de campo}}$$

$$K_{dq} = 100 \frac{\text{Volts}}{\text{amp de campo.}}$$

Mediante pruebas se comprobó que el número de vueltas en un campo de la Amplidina, es igual al número de vueltas del otro, por lo tanto se puede trabajar directamente con las corrientes cuando se usen los dos campos.

FIG. No. 4



I_f (mA)	V_{14} Volts	V_{15} Volts/amp	I_{14} Amp	V_{14} Volts	V_{15} Volts/amp
0	1.38	—	.04	21.6	540.
1	2.08	2,080	.06	43.4	556.
2	3.67	1,735	.10	70.5	705.
3	4.53	1,510	.12	83.6	697.
4	5.20	1,300	.14	95.0	679.
5	5.75	1,150	.16	105.0	656.
6	6.20	1,000	.18	114.0	633.
7	6.55	850	.20	122.0	610.
8	6.85	750	.22	130.0	591.
9	7.10	650	.24	138.0	571.
10	7.30	550	.26	145.0	554.
11	7.45	450	.28	152.0	539.
12	7.55	350	.30	158.0	526.

UNIVERSIDAD DE NUEVO LEÓN
 BIBLIOTECA UNIVERSITARIA
 "ALFONSO REYES"
 C. No. 1625 BOATERREY, COAH.

ESTADO DE SERVICIO
 "LITON SINGLES"
 1910

Mediante pruebas se comprobó que el número de vueltas en un campo de la Amplitud, es igual al número de vueltas del otro, por lo tanto se puede trabajar directamente con las corrientes cuando se usen los dos campos.

K_{pd} = 100 $\frac{\text{Volts}}{\text{amp de campo}}$
 K_{pt} = 1500 $\frac{\text{Volts}}{\text{amp de campo}}$

Para medios de cálculo se pueden tomar los siguientes valores.

TABLA I

i_f (m.a)	e_q Volts	K _{qf} Volts/amp	i_q Amp	e_q Volts	K _{dq} $\frac{\text{Volts}}{\text{amp}}$	V_e Volts	i_{fg} Amp	e_1 Volts	F.A.
0	1.38	—	.04	21.6	540.	0	.04	20.	—
1	2.08	2,080	.06	43.4	556.	.875	.08	40.	3660
2	3.47	1,735	.10	70.5	705.	1.750	.13	65.	2410
3	4.51	1,500	.13	92.0	706.	2.625	.17	85.	1840
4	5.55	1,385	.16	119.1	744.	3.500	.22	110.	1730
5	7.10	1,420	.205	146.5	725.	4.375	.27	135.	1670
6	9.01	1,500	.260	181.5	696.	5.250	.335	167.5	1780
7	9.90	1,415	.285	196.0	688.	6.125	.365	182.5	1550

$$e_q = i_q (r_a + r_q) \quad e_o = i_{fg} (r_a + r_c + r_c + 500)$$

$$e_q = i_q (34.7) \quad e_o = i_{fg} (542.7)$$

$$F.A. = \frac{i_{fg} e_1}{i_f V_e}$$